

بررسی آزمایشگاهی و مدل‌سازی تنفس برشی بحرانی برای فرسایش سطحی بستر چسبنده

حسام فولادفر^۱، محمود شفاعی بجستان^۲، منوچهر فتحی مقدم^۳

تاریخ دریافت: ۹۱/۰۲/۲۰

تاریخ پذیرش: ۹۱/۰۸/۲۳

چکیده

برآورد تنفس برشی بحرانی برای فرسایش بستر چسبنده با درجه اطمینان زیاد و به صورت تابعی از میزان تحکیم یافتنگی و عمق رسوبات بستر از جمله موارد عمده‌ای در حوزه رسوبات چسبنده می‌باشد که تاکنون روش معینی برای آن ارائه نشده است. در این تحقیق، با این فرض که مقاومت برشی واقعی بستر در نزدیکی سطح مشترک بستر و جریان می‌تواند جایگزین مناسبی برای تنفس برشی بحرانی برای فرسایش بستر چسبنده گلی گردد، با روابط مرکلباخ، این متغیر با استفاده از متغیرهای چسبنده‌گی، زاویه اصطکاک داخلی، ضربی خوش، بعد فرکتالی، ضربی تنفس موثر و به صورت تابعی از غلظت حجمی بستر تعریف شده است. این متغیرها را می‌توان به دو دسته متغیرهای مکانیک خاک و متغیرهای مربوط به تحکیم طبقه‌بندی نمود. متغیرهای مکانیک خاک به سادگی قابل سنجش می‌باشند ولی متغیرهای مرتبط با تحکیم خاک، شامل متغیر مربوط به تنفس موثر و متغیر بعد فرکتالی، به آسانی قابل سنجش نیستند. در این تحقیق روشی جدید برای سنجش این متغیرها برای رسوبات سد مخزنی سفید رود پیشنهاد شده است. نتایج نشان می‌دهند که بعد فرکتالی همواره متناظر با مقداری مشخص از ضربی تنفس موثر می‌باشد و نباید این دو را به طور جداگانه برآورد نمود. بعد فرکتالی با حداقل فراوانی را می‌توان به عنوان بعد فرکتالی برگزیده و مقدار ضربی تنفس موثر نماینده را نیز می‌توان معادل مقدار متوسط آن از میان زوج‌هایی با مقدار بعد فرکتالی دانست. به طور کلی، تنفس برشی بحرانی برای فرسایش دارای حساسیت زیادی نسبت به متغیر بعد فرکتالی می‌باشد و نشان داده شده که هر چه بعد فرکتالی کمتر باشد، تغییرات تنفس برشی بحرانی برای فرسایش نسبت به تغییرات غلظت حجمی کمتر خواهد بود.

واژه‌های کلیدی: استوانه تحکیم، بستر چسبنده گلی، بعد فرکتالی، تنفس برشی بحرانی، تنفس موثر، مقاومت برشی واقعی بستر، مخزن سد سفید رود.

H_fouladfar@yahoo.com

M_shafai@yahoo.com

Fathi49@gmail.com

۱- نویسنده مسئول: دانشجوی دکترای سازه‌های آبی دانشکده مهندسی علوم آب دانشگاه شهید چمران اهواز

۲- استاد دانشکده مهندسی علوم آب دانشگاه شهید چمران اهواز

۳- استاد دانشکده مهندسی علوم آب دانشگاه شهید چمران اهواز

دارد: (۱) تنشی که توسط آن حرکت ذرات اتفاق می‌افتد.
(۲) تنشی که توسط آن فرسایش عمدت‌های اتفاق می‌افتد و
(۳) نتیجه درون‌یابی رابطه بین نرخ فرسایش در مقابل تنش برشی برای فرسایش معادل صفر.

دو (۱۹۹۹) نیز سه تعریف دیگر برای آستانه حرکت رسوبات چسبنده ارائه نموده است. این تعاریف مختلف از تنش برشی بحرانی و آستانه حرکت تغییرات قابل ملاحظه‌ای را در نتایج حتی در شرایط آزمایشی مشابه ایجاد می‌نماید. با مقایسه برآوردهای تنش برشی بحرانی کلارک و وین (۲۰۰۷) در اندازه‌گیری‌های میدانی و با استفاده از روابط تجربی اسمردون و بیزی (۱۹۶۱) و جولین و تورس (۲۰۰۶) دریافتند که تنش برشی بحرانی اندازه‌گیری شده خیلی بیشتر و یا خیلی کمتر از مقادیر پیش‌بینی شده بوده است.

به منظور خارج شدن از این ابهامات و در یک سیر منطقی، در این تحقیق مدلی برای تعیین تنش برشی بحرانی از طریق ارتباط آن با متغیرهای مکانی و زمانی ژئوتکنیکی بستر پیشنهاد شده است. در این مقاله در ابتدا، اقدام به ارائه مدل پیشنهادی تنش برشی بحرانی شده و موثر در ادامه آن دو متغیر اساسی مدل یعنی ضریب تنش موثر و متغیر بعد فرکتالی که در واقع متغیرهای عمدت مربوط به فرآیند نهشته شدن و تحکیم رسوبات بستر نیز می‌باشند، با کمک روابط حاکم بر تحکیم ناشی از وزن^۱ و آزمایش روی استوانه تحکیم تعیین گردیده است. لازم به ذکر است که تعیین این دو متغیر در کنار متغیر ضریب نفوذپذیری، غلظت حجمی و تنش موثر، برای مدل سازی فرآیند نهشته شدن و تحکیم رسوبات چسبنده نیز ضرورت دارد [۱]. رسوبات مورد آزمایش این تحقیق از مخزن سد سفید رود و در پائین دست محل الحق رودخانه قزل‌آوزن برداشت شده‌اند.

مقدمه

به طور کلی فرسایش رسوبات چسبنده بستر زمانی اتفاق می‌افتد که سرعت جریان یا تنش برشی ناشی از جریان از یک مقدار بحرانی بیشتر شود. تلاش‌های گسترده‌ای برای ایجاد ارتباط بین تنش برشی بحرانی و متغیرهای رسوبات چسبنده صورت گرفته که در جدول (۱) نشان داده شده است. ملاحظه می‌شود که غالباً فرمول‌های خلاصه شده در جدول (۱) قادر همگنی ابعادی می‌باشند. [۲]

به طور کلی، افزایش غلظت حجمی، و یا به عبارتی دیگر چگالی خشک، رسوبات بستر منجر به متراکم‌تر شدن ذرات و لخته‌های رسوبی و لذا باعث افزایش مقاومت رسوبات بستر می‌شود، بر طبق نظر بسیاری از محققین، نظریه مهتا (۱۹۷۵)، میچنر و ترفس (۱۹۹۶)، وانگ و ژانگ (۱۹۸۹)، ترن و پارسونس (۱۹۸۰) و کالو و دو (۱۹۸۶)، تنش برشی بحرانی ارتباط نزدیکی با غلظت حجمی رسوبات بستر دارد. [۲]

پارامترهای دیگری که غالباً در فرمول‌های تنش برشی بحرانی ظاهر شده‌اند، عبارت از مقاومت برشی، نسبت آب، شاخص خمیری رسوبات چسبنده و غیره می‌باشد. به طور کلی، روابط مندرج در جدول (۱) و سایر روابط موجود، چه در شکل ساده و چه در شکل پیچیده، نتایج متفاوتی را ارائه می‌دهند و همه آن‌ها تجربی بوده و قابل شمول برای کلیه شرایط نمی‌باشند. بسیاری از روابط موجود فقط برای داده‌های آزمایشگاهی محدود انجام شده توسط خود محققین مورد آزمون قرار گرفته‌اند و بعضی از فرمول‌ها حتی بدون هیچ‌گونه آزمایشی پیشنهاد شده‌اند. بعضی از محققین در آزمایش‌ها از نمونه‌های دست نخورده و بیشتر محققین از نمونه‌های بازسازی شده استفاده نموده‌اند. لذا تنوع در انواع نمونه‌های رسوبی امکان مقایسه بین نتایج آزمایشگاهی را ضعیف کرده است. کمپس و هال (۱۹۸۳) دریافت‌های که در چهار تحقیق روی یک رسوب تقریباً مشابه، ضریب تغییر در مقدار تنش برشی بحرانی تعیین شده در حدود ۲۰۰ بوده است. این میزان تغییر می‌تواند نتیجه خطای آزمایشگاهی، تغییر در روش‌های آزمایشگاهی، بیان ساده خصوصیات رسوبات بستر و اختلاف معیارها در تعریف آستانه فرسایش توسط محققین مختلف بوده است. سان فورد و ما (۲۰۰۱) نشان داده‌اند که حداقل سه تعریف مختلف از تنش برشی بحرانی وجود

جدول(۱): خلاصه روابط تنش برشی بحرانی برای فرسایش رسوبات چسبینده [2]

مکان	راجهه	نمادها	مشخص	دستور
دان ۱۹۵۹	رگهه	$\tau_r = 0.01(\tau_r + 1800 \tan(30^\circ) H / 73P_r)$		(Dunn 1959)
دان	رگهه	$\tau_r = 0.163P_r^{0.84}$	$\tau_r = 0.493 \times 10^{(0.182\tau_r)}$	(Smeadon & Beasley, 1961)
اسپوتن و بیلری (1961)	دان	$\tau_r = 0.163P_r^{0.84}$	$\tau_r = 0.493 \times 10^{(0.182\tau_r)}$	
دانههای از پاکیزه کنترل شده	دانههای از پاکیزه کنترل شده	$C = 2.9 \times 10^{-1} \text{ gr/cm}^3$	$\tau_r = \frac{1}{775} \left[32(\gamma_r - \rho_r g) + \left(\frac{\rho_r}{\rho} \right)^{1/3} \frac{C}{d} \right]$	(Tang, 1963)
مونف اصلی	دانههای از پاکیزه کنترل شده	ρ_r : چگالی رسوبات	$\tau_r = 6.85 \times 10^{-7} (\rho_{ir})^{1.34}$	(Owan, 1975)
نمودههای با ارزاساک شده از رسوبات از نموده	-	-	$\tau_r = 5.42 \times 10^{-7} (\rho_{ir})^{2.38}$	(Thorn and Parsons, 1980)
نمودههای با ارزاساک شده از رسوبات از نموده	-	-	$\tau_r = 0.7\tau_{ir}^3$	(Cao and Du, 1986)
دانههای خالی، نمودههای ارزاساک شده از رسوبات از نموده	-	-	$\tau_{ir,1} = 0.22\tau_r^{0.56}$	(Hua and Wan, 1992)
روزخانه زرد با ارزاساک شده از رسوبات از نموده	-	-	$\tau_{ir,2} = 0.79\tau_r^{0.14}$	(Otsubo and Muraojio, 1988)
نمودههای خالی رسوبی از رسوبات از نموده	-	-	$\tau_r = 0.58\tau_{ir}$	(Hua and Wan, 1992)
نمودههای خالی رسوبی از رسوبات از نموده	-	-	$\tau_r = \frac{1}{10} \left[\frac{\sigma}{\sigma_r} (\tau_r - \tau_{ir}) + \frac{C}{d} \left(\frac{\rho_{ir}}{\rho_r} \right)^{1/3} \right]$	(Li et al, 1995)
آزاده شده از رسوبات PVC و رسوبات روزخانه زرد	آزاده شده از رسوبات PVC و رسوبات روزخانه زرد	ρ_r : چگالی رسوبات از رسوبات PVC و رسوبات روزخانه زرد	$\tau_r = \theta_r (\rho_r - \rho) g d^2 + \frac{9 \times 10^{-5}}{d} \left(\frac{S}{S_r} \right)^{1/3}$	(Yan, 1996)
دانههای خالی رسوبات دست نخوارده از رسوبات دست نخوارده	دانههای خالی رسوبات دست نخوارده از رسوبات دست نخوارده	ρ_r : چگالی رسوبات دست نخوارده از رسوبات دست نخوارده	$\tau_r = \theta_r (\rho_r - \rho) g d^2 + \frac{9 \times 10^{-5}}{d} \left(\frac{S}{S_r} \right)^{1/3}$	(Mitchaner and Torfs, 1996)
آزاده شده از رسوبات PVC و رسوبات دست نخوارده	آزاده شده از رسوبات PVC و رسوبات دست نخوارده	ρ_r : چگالی رسوبات دست نخوارده از رسوبات دست نخوارده	$\tau_r = 0.01 S_r (\rho_r - 1000)^{0.73}$	(Huanger et al, 1997)
آزاده شده از رسوبات PVC و رسوبات دست نخوارده	آزاده شده از رسوبات PVC و رسوبات دست نخوارده	ρ_r : چگالی رسوبات دست نخوارده از رسوبات دست نخوارده	$\tau_r = A \tau_r - Y_{ir} \theta_l$	(Huanger et al, 1997)
آزاده شده از رسوبات PVC و رسوبات دست نخوارده	آزاده شده از رسوبات PVC و رسوبات دست نخوارده	ρ_r : چگالی رسوبات دست نخوارده از رسوبات دست نخوارده	$\tau_r = k \left(\frac{d^2}{d_r} \right) \left[\frac{3.6 \frac{\rho}{\rho_r} - \rho}{\rho} g d + \left(\frac{\gamma_r}{\gamma_{ir}} \right)^{1/3} \frac{\tau_r + g \delta \sqrt{f/d}}{d} \right]$	(Huang et al, 1999)
آزاده شده از رسوبات PVC و رسوبات دست نخوارده	آزاده شده از رسوبات PVC و رسوبات دست نخوارده	ρ_r : چگالی رسوبات دست نخوارده از رسوبات دست نخوارده	$\tau_{ir} = 0.1 + 0.01779 e_r^{0.1} + 0.0028 (e_r)^2 - 2.34 \times 10^{-5} (e_r)^3$	(Julian and Torres, 2006)
آزاده شده از رسوبات PVC و رسوبات دست نخوارده	آزاده شده از رسوبات PVC و رسوبات دست نخوارده	ρ_r : چگالی رسوبات دست نخوارده از رسوبات دست نخوارده	$\tau_r = f_r(\tau_r), \tau_{ir} = f_r(w_r)$	(Hong et al, 2006)
آزاده شده از رسوبات PVC و رسوبات دست نخوارده	آزاده شده از رسوبات PVC و رسوبات دست نخوارده	w_r : نسبت بیل شکل آگر و آگر برای رسوبات دست نخوارده و رسوبات دست نخوارده	حسب $\tau_r = f_r(\tau_r), \tau_{ir} = f_r(w_r)$	(Hong et al, 2006)

در این رابطه ضریب تنش موثر K تابعی از انواع خصوصیات میکروسکوپی رسوب گل (مقاومت پیوندی و لزجت) می باشد. D متغیر بعد فرکتالی رسوب می باشد و مقدار آن بین دو تا سه می باشد. این متغیر از اهمیت بسیار زیادی در حوزه رسوبات چسبنده و تبیین و مدل سازی پدیده لختگی σ دارد. همچنین از آن جهت تعیین غلظت ژله ای رسوبات چسبنده با کمک پارامتر برشی برای برآورد نرخ اختلاط می توان استفاده نمود.

متغیر $K_{\sigma,0}$ نیز مربوط به پدیده خزش می باشد. این متغیر فرآیندی را توجیه می نماید که در آن با کاهش تنش موثر غلظت حجمی کاهش پیدا نمی کند و یا با افزایش غلظت حجمی تنش موثر زیاد نمی شود. البته $K_{\sigma,0}$ غالبا برای تشریح فرآیندهای پیش تحکیمی در مواد کاملا پلاستیک بکار می رود.

در سطح مشترک آب و بستر، تنش های موثر تقریبا صفر می باشد (فقط وزن یک لخته)، بنابر این ترم تنش موثر را می توان حذف کرد [۷] :

(۳)

$$\sigma'_v = K_\sigma \phi^{\frac{2}{3-D}} - K_{\sigma,0} \approx 0 \Rightarrow K_{\sigma,0} = K_\sigma \phi^{\frac{2}{3-D}}$$

با جایگزینی در رابطه مرکلباخ، معادله (۱) به صورت زیر می شود:

(۴)

$$\tau_{cr} = \tau_y = c'_a \phi + \frac{1}{3} \tan \varphi' (1+2K_0) K_\sigma \phi^{\frac{2}{3-D}}$$

در این رابطه، چسبنده بستر، c'_a ، زاویه اصطکاک داخلی، φ' ، و متغیر تنش جانبی، K_0 ، متغیرهای ژئوتکنیکی می باشند که به کمک روشها و دستگاههای اندازه گیری آزمایشگاه مکانیک خاک قابل اندازه گیری می باشند ولیکن هنوز روشی برای تعیین ضریب تنش موثر K_σ و متغیر بعد فرکتالی D ابداع نشده است. در این مقاله روشی برای تعیین این دو متغیر مهم با کمک آزمایش استوانه تحکیم پیشنهاد شده است.

مدل پیشنهادی تنش برشی بحرانی

اگرچه مقاومت برشی واقعی در نزدیکی سطح تماس بستر و جریان، τ_y ، معمولاً بزرگ‌تر از تنش برشی بحرانی، τ_{cr} ، می باشد و تنش برشی بحرانی معمولاً معادل حداقل مقاومت برشی واقعی بستر می باشد ولیکن به دلیل قطعی بودن آن و اندک بودن تغییرات آن در مقایسه با تغییرات تنش برشی و همچنین به دلیل ارتباط تئوریکی آن با متغیر مکانی و زمانی غلظت حجمی و یا چگالی خشک، به نظر متغیرهای جایگزین مناسبی رسیده است. از سوی دیگر، کلیه متغیرهای مربوط به مقاومت برشی را از طریق روش های آزمایشگاهی می توان مورد سنجش قرار داد و نیازی به اعمال متغیرهای تجربی و صحت سنجی نمی باشد. از سوی دیگر می توان با استفاده از روش های جایگزین برای سایر متغیرهای دخیل در نرخ فرسایش (نظیر جایگزینی ضریب نرخ فرسایش با نرخ فرسایش از روی گل روان τ در فرمول عمومی نرخ فرسایش بستر چسبنده) می توان نقیصه برآورد دست بالای تنش برشی بحرانی را جبران نمود.

مقاومت واقعی برشی بستر را می توان به صورت تابعی از چگالی، تنش موثر و چسبنده محاسبه نمود. مرکلباخ (۱۹۹۶) رابطه ای بین غلظت حجمی رسوب ϕ و مقاومت برشی اصلی τ_y بر حسب خصوصیات میکروسکوپی استخراج نموده است.

(۱)

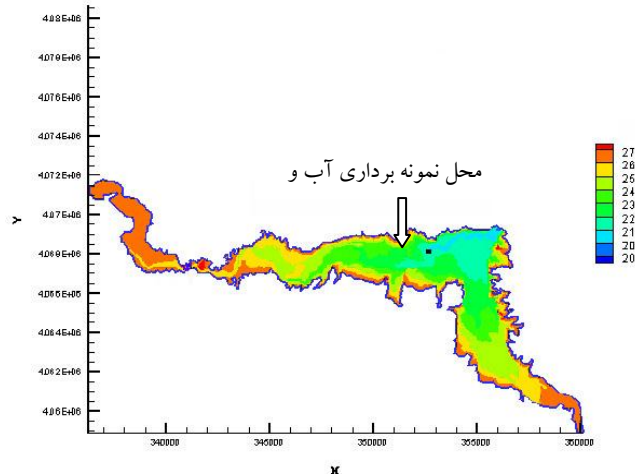
$$\tau_y = c'_a \phi + \frac{1}{3} \tan \varphi' (1+2K_0) K_{\sigma,0} + \tan \varphi' \sigma'_v$$

در این رابطه، c'_a چسبنده واقعی، φ' زاویه اصطکاک داخلی، K_0 ضریب تنش جانبی، $K_{\sigma,0}$ متغیر تجربی پدیده خزش و σ'_v تنش موثر می باشد. از طرف دیگر مرکلباخ (۲۰۰۰) یک رابطه بنیانی برای بارگذاری یکنواخت به صورت زیر پیشنهاد نموده است :

$$\sigma'_v = K_\sigma \phi^{\frac{2}{3-D}} - K_{\sigma,0} \quad (۲)$$

نمونه‌گیری میدانی

نمونه رسوبی در خرداد ۱۳۹۰ از بستر مخزن سد سفیدرود جمع آوری شده است. سد سفید رود در ۲۰۰ کیلومتری شمال غربی تهران و ۱۰۰ کیلومتری دریاچه خزر، کمی پائین‌تر از شهر منجیل و در محل تلاقی دور



شکل(۱): محل نمونه‌برداری آب و رسوب بستر از مخزن سد سفید رود

متوسط در عمق ارائه شده اند. عمق آب محلی در طی اندازه‌گیری‌ها ده متر بوده و همه اندازه‌گیری‌ها در جدول(۲) با ادوات و ابزار آزمایشگاه کیفی منابع آب موسسه تحقیقات آب وزارت نیرو انجام شده است.

در ساعت ۱۰ صبح، نمونه‌گیری با اندازه‌گیری‌های پروفیل‌های قائم هدایت الکتریکی، غلظت، درجه حرارت، نسبت اکسیژن، پتانسیل اکسیداسیون و اسیدیته آب آغاز شد. نتیجه اندازه‌گیری‌ها در جدول(۲) نشان داده شده است. از آنجائی که لایه‌بندی وجود نداشته است، مقادیر

جدول(۲): خصوصیات آب مخزن در موقعیت و در طی نمونه‌گیری

0.9	هدایت الکتریکی(میکرومیکس بر سانتیمتر)
0.16	غلظت مواد محلول(کیلوگرم بر متر مکعب)
22.5	درجه حرارت (درجه سلسیوس)
0.0072	نسبت اکسیژن (کیلوگرم بر متر مکعب)
79	نسبت اکسیژن (درصد وزنی)
	پتانسیل اکسیداسیون (mV)
+130	- آب
-290	- رسوب
7.8	PH (آب)

بیست کیلوگرم رسوب برداشت گردید. شکل‌های (۱) و (۲) نحوه نمونه‌گیری از رسوب را نشان می‌دهند. شش بشکه بیست لیتری آب نیز توسط عمل پمپاژ از وسط عمق جمع‌آوری گردید. در نیمه روز نمونه‌گیری‌ها به اتمام

رسوب بستر توسط یک گراپ باکت^۱ و از ده سانتیمتری فوقانی لایه رسوبی نمونه‌گیری انجام شد. از این طریق

1- Grap Bucket

شده نمونه‌های رسوبی را نشان می‌دهد. ترکیب کانی‌شناسی رسوب توسط روش تفرق اشعه ایکس تعیین شده است. این ترکیبات و بعضی خصوصیات کانی‌ها نظیر چگالی، ظرفیت تبادل یونی و سطح ویژه نمونه‌های رسوبی در جدول(۴) ارائه شده‌اند. دانه‌بندی ذرات نمونه رسوب در جدول(۵) و نمودار(۱) نشان داده شده است. نمونه رسوبی دارای حد خمیری ۲۸، حد روانی ۳۴ و اندازه خمیری ۶ می‌باشد.

جدول(۱) و (۲) نحوه نمونه‌گیری میدانی از رسوبات بستر مخزن سد سفید رود



جدول(۳): خصوصیات فیزیکو شیمیائی نمونه رسوب

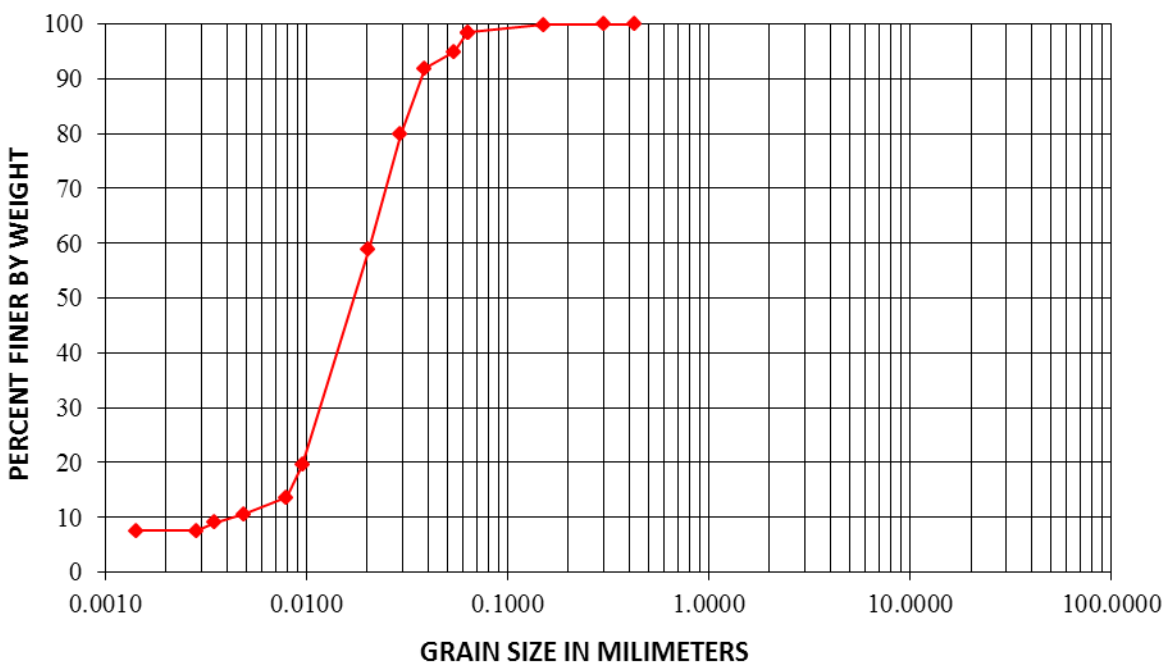
۰/۷۵	هدایت الکتریکی (میکروموس بر سانتیمتر)
۰	نسبت اکسیژن (کیلوگرم بر متر مکعب)
-۳۰۰	ظرفیت اکسیداسیون (mV)
۹/۵	نسبت مواد آلی (درصد وزنی)
۰/۲۲	(meq / 100 gds)
۰/۵۳	(meq / 100 gds)
۳۳	(meq / 100 gds)*
۲/۳۷	کلسیم (meq / 100 gds)
۲۲	آهن (گرم بر کیلوگرم)
۲۲	ظرفیت تبادل یونی
۳۱	*نسبت خشک (درصد)
۱۱۸/۵	سطح ویژه (متر مربع بر گرم)

جدول(۴): ترکیب و خصوصیات کانی‌شناسی نمونه رسوب

نوع کانی	درصد وزنی (%)	چگالی (کیلوگرم بر متر مکعب)	ظرفیت تبادل یونی	سطح ویژه (متر مربع بر گرم)
Chlorite	۱۰	۲۶۰۰-۲۹۰۰	۴۰	۸۰
Illite	۲۰	۲۶۰۰-۲۸۶۰	۳-۸	۱۳-۲۶
Kaolinite	۵	۲۶۱۰-۲۶۴۰		
Quartz	۳۰	۲۶۵۰		
Calcite	۷	۲۷۲۰		
Dolomite	۳	۲۸۵۰		
Organic matter	۱	کمتر از		مواد آلی

رسید و نمونه‌های آب و رسوب با یک ماشین یخچال دار با دمای چهار درجه سلسیوس به آزمایشگاه منتقل شدند. رسوب در یخچال آزمایشگاه در دمای بین چهار و هشت درجه سلسیوس و آب نیز در یک اتاق با هوای کنترل شده و با دمای ثابت بیست درجه سلسیوس نگهداری شده است.

قبل از انجام آزمایش، رسوبات با الک یک میلیمتری غربال شدند. جدول(۳) خصوصیات فیزیکو شیمیائی اندازه‌گیری شکل (۱) و (۲) نحوه نمونه‌گیری میدانی از رسوبات بستر مخزن سد سفید رود



نمودار (۱) : دانه‌بندی رسوبات بستر

سراسری عمقی از طریق لوله مغزه‌گیری از رسوب در وسط استوانه تحکیم بعد از هر دوره زمانی تحکیم انجام می‌شود. بعد از عمل مغزه‌گیری استوانه تخليه می‌شود و مجدداً مخلوط آب و رسوب به درون استوانه ریخته می‌شوند و به آن اجازه رسوب‌گذاری و تحکیم تا دوره زمانی بعدی داده می‌شود و بعد از تمام شدن زمان تحکیم مورد نظر، مجدداً از وسط استوانه تحکیم مغزه‌گیری می‌شود. لوله نمونه‌گیری بعد از هر دوره مغزه‌گیری جهت اندازه‌گیری چگالی خشک در ترازهای مختلف بستر (هر پنج میلیمتر) به آزمایشگاه منتقل می‌شود.

بررسی آزمایشگاهی

بررسی آزمایشگاهی در استوانه‌ای با قطر و بلندی سی سانتیمتر (تا تراز سرریز) انجام شده است. شکل (۳) نمایی از این دستگاه را نشان می‌دهد.

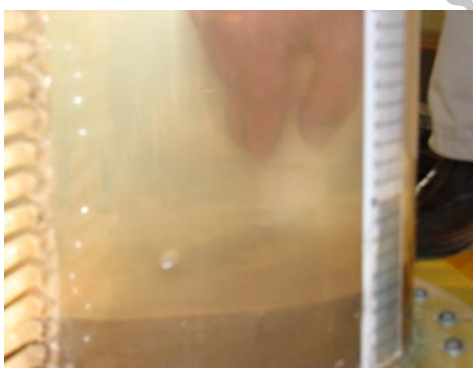
نمونه رسوبات برداشتی از مخزن سد سفید رود، بعد از اختلاط کامل، به استوانه تحکیم منتقل می‌شود. ارتفاع اولیه آب و رسوب در استوانه سی سانتیمتر و غلظت اولیه ۵۰۰ گرم در لیتر می‌باشد. به منظور اطمینان از زهکشی کامل و یکنواخت رسوبات در حال نشست، در کف استوانه یک شیر خروجی جهت تخليه آب و رسوب تعییه شده است. جهت اندازه‌گیری چگالی خشک، نمونه‌برداری



شکل(۳) : نمایی از دستگاه استوانه تحکیم

تدریجی تحکیم را در طی ۱۶۸ ساعت و شکل‌های (۱۱) الی (۱۳) روش نمونه‌گیری از بستر را نشان داده‌اند.

این کار در شش مرحله مربوط به شش دوره زمانی ۶، ۲۴، ۴۸، ۷۲، ۱۴۴ و ۱۶۸ ساعت به نحوی مشابه آنچه که گفته شد، تکرار می‌شود. شکل‌های (۴) الی (۱۰) فرایند



شکل(۱۲): مغزه گیری از بستر



شکل(۱۱): سرنگ جهت مغزه گیری از بستر



شکل(۱۳): نمونه گرفته شده از بستر در یکی از دوره‌های تحکیم



ପାତାରେ କିମ୍ବା କିମ୍ବା କିମ୍ବା



ارزاق رسمیات : ملکه سلطنتی



شکل (۲): دو روزه تغییرات ۳۳ ساعت،
تلخات اولیه: مد نماینده در لیست،
آغاز تغییرات سنتا: مد نماینده



لطفات اولیه : مدیر گردن شرکت پست



(تئان) رسوبات بیشتر؛ خاک ساخته شده تا
دستگاه اولیه : ۰۰۰ کیلو در لیتر،
شکل (۴) : دودو تکیه : ۷۲ ساعت،

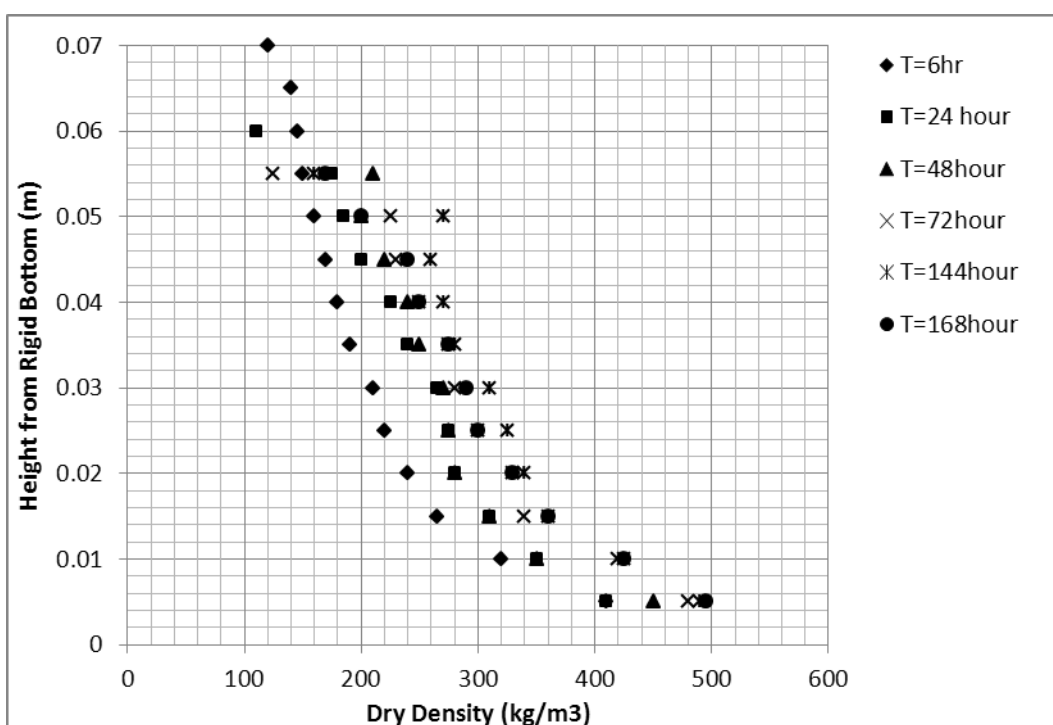


(١) تئان و رسوبات بیسیتر: همان مسأله تیغه در



(تئان) رسوبات بسته: ۵۰٪ ساتھی

اندازه‌گیری‌ها در نمودار(۲) نشان داده شده است.



نمودار(۲): نتایج اندازه‌گیری چگالی خشک در استوانه تحکیم

صلب در $z=0$) و تخلخل نسبی e به صورت متغیری واپسنه استخراج نمود. این معادله حاوی یک ترم جابجائی و یک ترم پخشیدگی می‌باشد.

تعیین ضریب تنش موثر و متغیر بعد فرکتالی روش پیشنهادی تعیین متغیرها

گیبسون (۱۹۸۱) یک معادله تحکیم یک بعدی در جهت قائم در مختصات زمان t و ارتفاع بستر z (با کفی

$$\frac{\partial e}{\partial t} + (1+e)^2 \Delta \frac{\partial}{\partial z} \left(\frac{k}{(1+e)^2} \right) + \frac{(1+e)^2}{g \rho_w} \frac{\partial}{\partial z} \left(\frac{k}{1+e} \frac{\partial \sigma'_v}{\partial z} \right) = 0 \quad (5)$$

از معادله فوق می‌توان یک معادله تعادلی در حالت دائمی و ماندگار $0 = \partial \phi / \partial t$ و با کمک رابطه بنیانی مرکلباخ به صورت زیر استخراج نمود:

$$h - z = 2 \frac{K_\sigma}{(D-1)(\rho_s - \rho_w)g} \phi^{\frac{D-1}{3-D}} \quad (7)$$

($h - z$) فاصله زیر سطح مشترک آب و رسوب می‌باشد. با رسم مقدار ($z - h$) در مقابل غلظت حجمی روی یک کاغذ تمام لگاریتمی، معادله تعادلی فوق تبدیل به معادله یک خط مستقیم می‌شود:

در این معادله دیفرانسیلی، k متغیر معرف نفوذپذیری، σ'_v تنش موثر عمودی (تنش کل منهای فشار آب منفذی)، Δ چگالی نسبی مواد رسوبی و ρ_w چگالی آب می‌باشد. با استفاده از رابطه غلظت حجمی و تخلخل به صورت $\phi = \frac{1}{1+e}$ معادله فوق را می‌توان به صورت معادله دیفرانسیلی ساده‌تری بر حسب غلظت حجمی استخراج نمود.

$$\frac{\partial \phi}{\partial t} - \Delta \phi^2 \frac{\partial}{\partial z} [k\phi] - \frac{\phi^2}{\rho_w g} \frac{\partial}{\partial z} \left[k\phi \frac{\partial \sigma'_v}{\partial z} \right] = 0 \quad (6)$$

از حضور ماسه در نمونه رسوب دانست. در واقع، ترکیب رسوبات به کار رفته نشان دهنده ۳۰٪ درصد کوارتز می‌باشد. معلوم شده که ماسه دارای سرعت نشست خیلی بیشتری نسبت به رسوب گلی می‌باشد. در طی تحکیم، ماسه از رسوب گلی جدا شده و تشکیل یک لایه ماسه‌ای در نزدیکی بستر صلب می‌دهد (اگرچه جدا شدگی وابسته به شرایط اولیه می‌باشد). در بالای این لایه ماسه‌ای پروفیل تحکیم رسوب گلی شکل می‌گیرد. بنابراین، در زمان تعیین متغیرهای تنش موثر، از قسمت‌های تحتانی پروفیل‌های غلظت حجمی باید صرف نظر گردد. هر چند که تمام ماسه تشکیل لایه ماسه زیر لایه رسی نماید. بعضی ذرات ماسه ریز هستند و قسمتی از بستر تحکیم یافته رسوبات گلی را تشکیل می‌دهند. بنابراین، ارتفاع لایه ماسه‌ای خیلی مشخص نیست و خیلی روش نیست که آیا نیازی به حذف نقطه می‌باشد و یا خیر. لازم به ذکر است که غالب رسوبات طبیعی محتوی مقداری ماسه می‌باشند و این مسئله در اغلب حالات مهندسی رخ می‌دهد.

سومین معطل این که پروفیل تعادلی تشریح شده توسط معادله گیبسون و روابط مبنائي مرکلباخ معادله(۷) نشان دهنده یک گرادیان تیز در پروفیل غلظت حجمی در نزدیکی سطح مشترک می‌باشد. تراز سطح مشترک در این آزمایش‌ها خیلی روش نیست. به دلیل گرادیان زیاد غلظت حجمی در نزدیکی سطح مشترک، یک تغییر کوچک در تراز اندازه‌گیری همیشه همراه با تغییر زیاد در غلظت حجمی می‌باشد. به علاوه، اندازه‌گیری‌های نزدیکی سطح مشترک زیاد قابل اعتماد نمی‌باشند. در واقع، در نزدیکی سطح مشترک خطاهای زیاد در داده‌ها مورد انتظار است. ارتفاع سطح مشترک در مرحله نهائی تحکیم ۶/۳ سانتیمتر می‌باشد، در صورتی که بالاترین اندازه‌گیری در ۵/۵ سانتیمتری انجام شده است. به علاوه، اندازه‌گیری غلظت حجمی پروفیل تعادلی در دامنه بالای ۱۲۰ تا ۲۱۰ کیلوگرم بر متر مکعب می‌باشد (جدول^۶). به طور کلی، اندازه‌گیری چگالی خشک خیلی کوچک در نزدیکی سطح مشترک مشکل است. این مسئله در غالب حالات وجود دارد.

(۸)

$$\log(h-z) = \log\left[\frac{2K_\sigma}{(D-1)(\rho_s - \rho_w)g}\right] + \frac{D-1}{3-D} \log \phi$$

وقتی که $(z-h)$ در مقابل ϕ روی کاغذ تمام لگاریتمی ترسیم می‌شود، شیب خط مستقیم گذرنده از داده‌ها، R ، معادل $(D-1)/(3-D)$ می‌باشد.

K_σ را می‌توان با جای گذاری در یک جفت $(h-z, \phi)$ تعیین نمود.

برآورد اولیه متغیرها

در زمان استفاده از روش پیشنهادی، سه معطل پیش می‌آید. معطل اول این‌که، اندازه‌گیری‌های ۲۴ ساعت و بعد از آن را نمی‌توان در نمودار(۲) به وضوح از یکدیگر تمایز نمود. توضیحی که می‌توان در این ارتباط داد این است که همه پروفیل‌های ۲۴ ساعته و بعد از آن در موقعیت تعادلی می‌باشند و این که اختلاف‌ها فقط ناشی از خطاهای اندازه‌گیری می‌باشد. توضیح دیگر آن‌که، بعضی از پروفیل‌ها هنوز در حالت تعادل نمی‌باشند و این که قسمتی از اختلاف‌ها ناشی از اضافه فشارهای آب منفذی می‌باشد. چگالی خشک پروفیل‌های ۴ و ۲۴ ساعت پائین‌تر از غلظت حجمی‌های سایر پروفیل‌ها می‌باشد، لذا آن‌ها هنوز اضافه فشارهای آب منفذی نسبت به بقیه دارند. بنابر این، پروفیل بعد از ۴۸ ساعت را می‌توان در مرحله نهائی تحکیم ارزیابی نمود و همه نقاط داده‌ای به جز نقاط داده‌ای ۴ و ۲۴ ساعت را می‌توان برای تعیین ضربی تنش موثر و بعد فرکتالی تعیین نمود. دومین معطل این است که پروفیل تعادلی تشریح شده معادله(۷) نشان دهنده یک افزایش خطی تنش موثر نسبت به عمق و یک پروفیل غلظت حجمی با انحنای نرم و بدون نقطه عطف می‌باشد. علاوه بر آن، طبق این معادله، گرادیان غلظت حجمی در نزدیکی بستر صلب تقریباً صفر می‌باشد. در صورتی که پروفیل‌های اندازه‌گیری شده نشان دهنده یک پروفیل غلظت حجمی با یک دنباله با یک غلظت حجمی خیلی زیاد در نزدیکی بستر صلب می‌باشد (وجود نقطه عطف). چنین رفتاری را می‌توان ناشی

جدول(۶): چگالی خشک بستر در سطح مشترک برای زمان های مختلف تحکیم

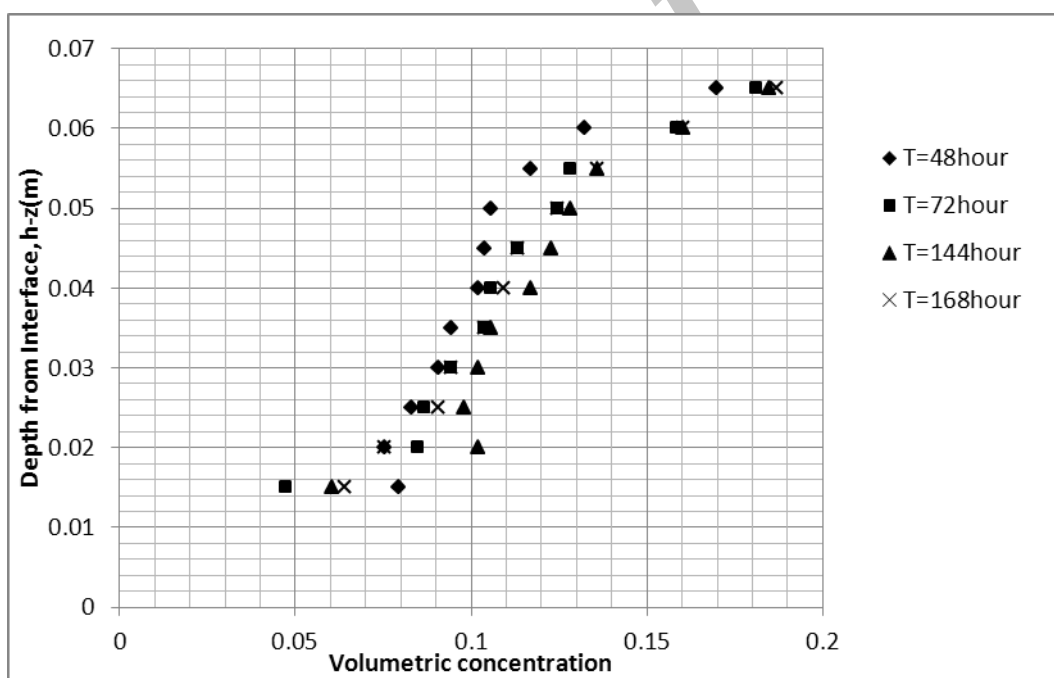
				زمان تحکیم (ساعت)
۱۶۸	۱۴۴	۷۲	۴۸	چگالی خشک در نزدیکی سطح مشترک آب و بستر (کیلوگرم بر متر مکعب)
۱۶۵	۱۵۵	۱۲۰	۲۱۰	

شده‌اند. در این برآذش، از تعدادی نقاط در نزدیکی سطح مشترک و تعدادی نقاط در نزدیکی بستر صلب صرف نظر شده است. متغیرهای به دست آمده از این طریق عبارتند از:

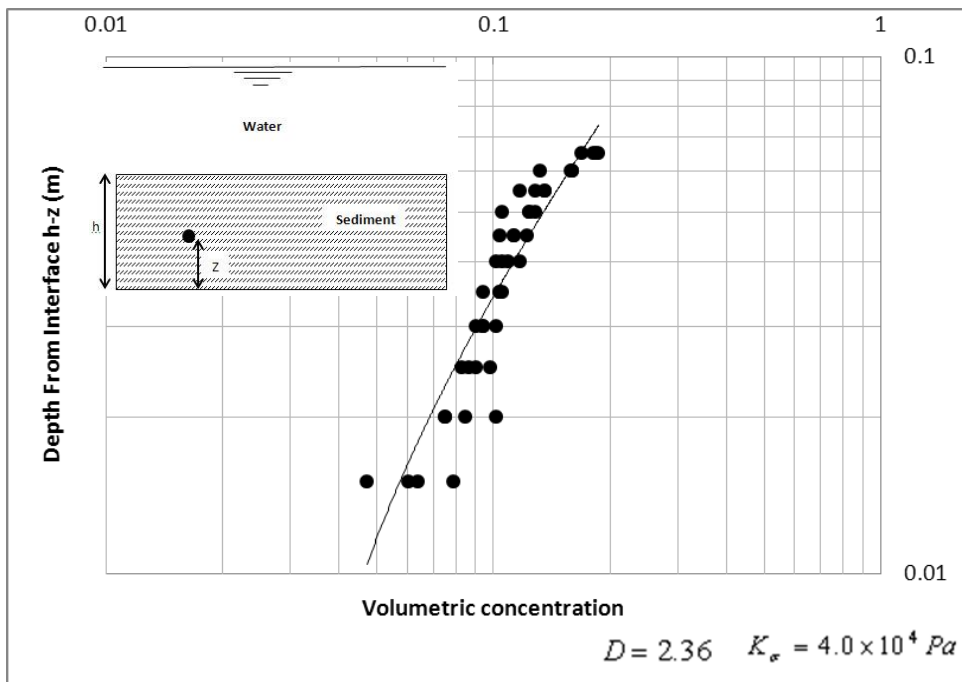
$$D = 2.36 \quad K_\sigma = 4.0 \times 10^4 \text{ Pa}$$

در این نمودار پوشش قسمت میانی داده‌ها، مناسب‌ترین محدوده نماینده قسمت ترسیم شده است.

با استفاده از تغییرات اندازه‌گیری شده چگالی خشک در مقابل ارتفاع از بستر صلب می‌توان نمودار دیگری از تغییرات غلظت حجمی در مقابل عمق از سطح تماس آب و رسوب ساخت. (شکل ۳). شکل (۴) نشان دهنده یک برآذش نماینده برای کل داده‌های غلظت حجمی در مقابل فاصله از سطح بستر می‌باشد. قبل ذکر این در نمودار h عمق رسوبات بستر و Z فاصله از کف بستر می‌باشد. نمودار در مقیاس تمام لگاریتمی ترسیم شده است. این ارتفاع سطح مشترک از اندازه‌گیری‌های نشست سطح مشترک بازیافت



نمودار (۳) : تغییرات غلظت حجمی در مقابل عمق از سطح تماس آب و رسوب

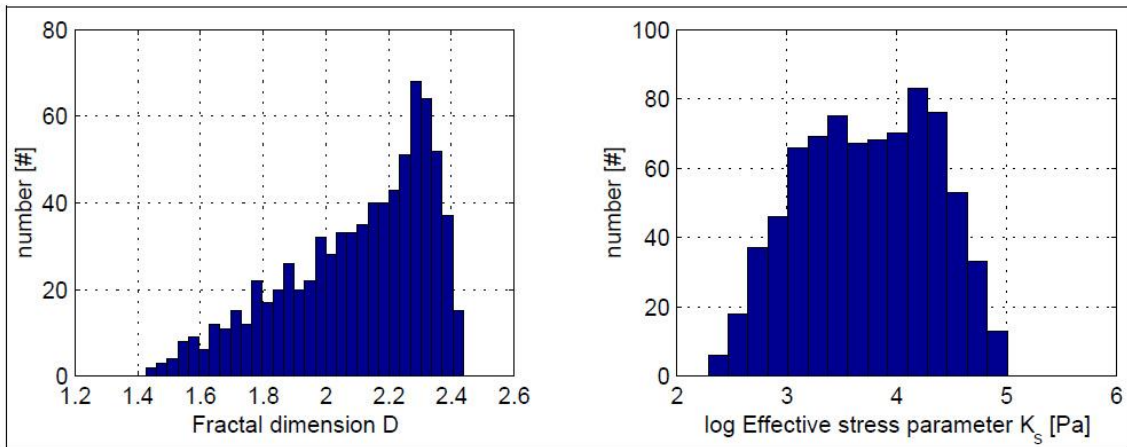


نمودار (۴) : متوسط برآذش حداقل مربعات غلظت حجمی در مقابل عمق بستر برای تعیین K_σ و D

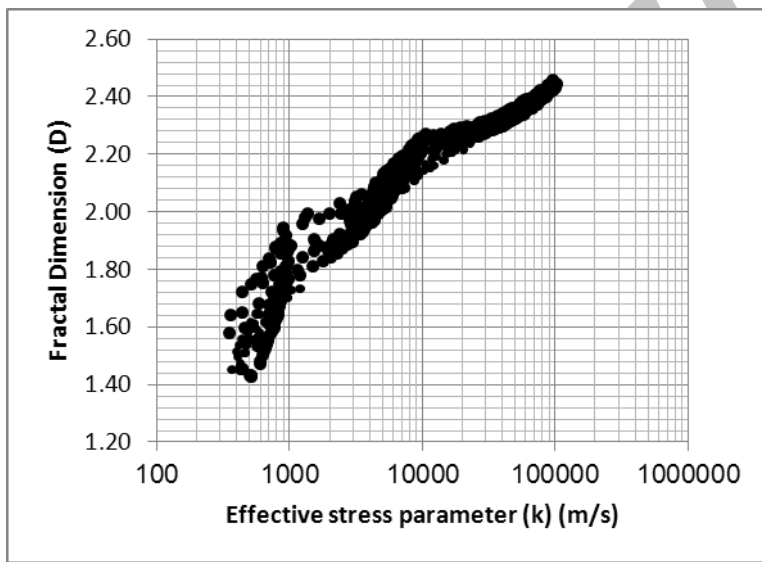
ترکیبی خاص نقاط داده‌ای به دست می‌آید. انتخاب حجم نقاط حذفی در دو سمت بدین‌گونه صورت گرفته که حداقل شش نقطه داده‌ای در آنالیز سهیم باشند. این کار باعث ایجاد جملاً ۷۰.۸ جفت (K_σ, D) می‌شود. نتایج همه برآذش‌ها در نمودارهای (۵) و (۶) نشان داده شده است. نمودارهای منطبق با همه برآذش‌های حداقل مربعات به طور مستقل بررسی شده‌اند. مقادیر خیلی پائین ضریب تنش موثر K_σ (مرتبه ۱۰۰ پاسکال) منطبق با حالتی می‌باشد که فقط نقاط نزدیک بستر صلب برآذش داده شده‌اند. این برآذش‌ها کمترین نمایندگی را دارند. آن‌ها فقط داده‌های محتوی ماسه را برآذش می‌دهند. این خطوط مقادیر پائینی را برای ضریب تنش موثر و بعد فرکتالی ارائه می‌دهند.

دامنه تغییرات متغیرها با کمک برآذش‌های چندگانه حداقل مربعات

اکنون می‌دانیم که داده‌های اندازه‌گیری شده در یک سمت به دلیل حضور ماسه و در سمت دیگر به دلیل عدم قطعیت‌های بزرگ در اندازه‌گیری‌های نزدیک سطح مشترک باید حذف گردند. اگرچه روشن نیست که کدام داده‌ها نباید در آنالیزها سهیم باشند. بنابراین خط مستقیمی که برای برآذش نقاط داده‌ای در کاغذ تمام لگاریتمی مورد استفاده قرار می‌گیرد، باید بر مبنای بعضی از داده‌های میانی باشد. اما حجم نقاط داده‌ای حذفی در هر دو سمت، روی شبیه و جابجایی خط تاثیر می‌گذارد. بنابراین خطوط مختلفی می‌توان رسم نمود و برآذش‌های بسیار زیادی از طریق حذف نقاط داده‌ای از دو طرف مجموعه داده‌ها، می‌توان تولید نمود. برای هر برآذش،



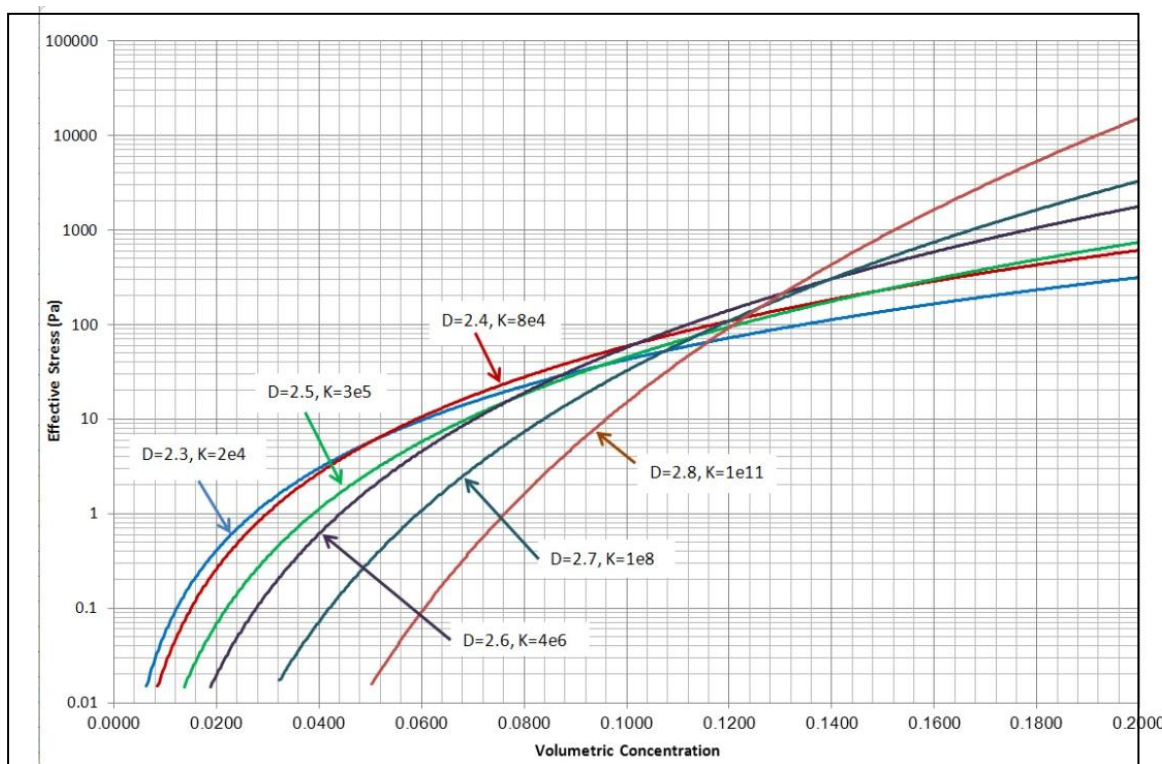
نمودار(۵): هیستوگرام نتایج همه برآذش‌های حداقل مربعات غلظت حجمی در مقابل عمق بستر برای تعیین K_σ و D



نمودار(۶): رابطه بین D و K_σ برای برآذش‌های مختلف

می‌دهد که هر چه بعد فرکتالی کمتر باشد، افزایش تنفس موثر، (یا به عبارتی دیگر افزایش تنفس برشی بحرانی برای فرسایش بستر) نسبت به غلظت حجمی تدریجی‌تر خواهد بود.

رابطه بین تنفس موثر σ'_v (که ارتباط مستقیم با مقاومت برشی τ_y یا تنفس برشی بحرانی برای فرسایش بستر دارد) و غلظت حجمی ϕ در نمودار(۷) برای ترکیب‌های مختلف از نمودار(۵) ترسیم شده است. نمودار نشان



نمودار (۷) : رابطه بین تنش موثر σ'_v و غلظت حجمی ϕ برای مجموعه های D و K_σ

جدید برای متغیرهای دخیل و ایجاد توازن در معادله جبران نمود.

در این مقاله روشی برای به دست آوردن متغیرهای مهم مدل مذکور که مرتبط با نهشته شدن و تحکیم رسوبات می باشد، شامل ضریب تنش موثر و بعد فرکتالی، ارائه شده است. با ساده سازی معادله گیبسون و استخراج معادله حالت دائمی و ماندگار تغییرات عمقی غلظت حجمی که در مقیاس لگاریتمی رابطه ای خطی بین تراز نقطه مورد نظر در بستر از کف صلب و غلظت حجمی را نشان می دهد، خطوطی قابل ترسیم است که شیب آنها معادل مقدار بعد فرکتالی خواهد بود و ضریب تنش موثر را نیز با استفاده از روابط خطی مذکور می توان تعیین نمود. برای تعیین این خطوط از آزمایش نهشته شدن و تحکیم در یک استوانه تحکیم و استفاده از تکنیک برازش استفاده شده است.

روش برازش را نمی توان روی همه نقاط داده ای اندازه گیری شده اجرا نمود. محدودیت های فیزیکی که در چهار چوب آنها روش برازش قابل استفاده است، قید و بندی را در تعداد نقاط داده ای که باید برای یک برازش مورد استفاده قرار گیرد، ایجاد خواهد نمود. به علاوه، مجموعه نقاط داده ای که باید مورد استفاده قرار گیرد، از

نتیجه گیری

برای تنش برشی بحرانی فرسایش بستر چسبنده هنوز تعریف روش و مشخصی صورت نگرفته و مدلی ثابت و قابل قبول برای براورد آن ارائه نشده است. چنانچه فرض شود تنش برشی بحرانی برای فرسایش معادل مقاومت برشی واقعی بستر باشد، آنگاه می توان با استفاده از روابط و روش های آزمایشگاهی کلیه متغیرهای موثر بر آن را به سهولت مورد سنجش قرار داد و نیازی به اعمال متغیرهای تجربی و فاقد مفاهیم فیزیکی نمی باشد. علاوه بر آن، فرض مذکور تنش برشی بحرانی را به صورت تابعی از زمان و عمق بستر براورد می نماید که به ماهیت واقعی تنش برشی بحرانی نزدیک می باشد. تنها معضلی که در این ارتباط بوجود می آید این که معمولاً تنش برشی بحرانی کوچکتر از مقاومت برشی بستر می باشد و استفاده از این مدل در روابط فرسایش، نرخ فرسایش را تا حد زیادی کاهش خواهد داد ولیکن نظر به اینکه جهت براورد نرخ فرسایش، متغیر تنش برشی بحرانی در اندرکنش با متغیرهای دیگری مانند ضریب نرخ فرسایش و تنش برشی جریان می باشد، می توان این نقیصه را از طریق تعاریفی

مستقل منجر به یک طیف از مقادیر بعد فرکتالی می‌شود. مقدار مود (نما) بعد فرکتالی خطی را با بالاترین احتمال برآش داده شده ارائه می‌دهد. توصیه این است که مقدار مود بعد فرکتالی به عنوان مقدار نماینده بعد فرکتالی و مقدار ضریب تنش موثر نیز معادل مقدار متوسط ضریب تنش موثر از میان زوج‌هایی با مقدار مود بعد فرکتالی در نظر گرفته شود. نتایج نشان داده‌اند که تنش برشی بحرانی برای فرسایش دارای حساسیت زیادی نسبت به متغیر بسیار مهم بعد فرکتالی می‌باشد و نشان داده شده که هر چه بعد فرکتالی کمتر باشد، تغییرات تنش برشی بحرانی برای فرسایش نسبت به تغییرات غلظت حجمی کمتر خواهد بود.

قبل دقیقاً معلوم نیستند. این بدین معناست که تعداد زیادی برآش چندگانه ممکن خواهد بود و هر برآشی منجر به مجموعه متفاوتی از متغیرها خواهد بود. در نتیجه، اگر افراد مختلف برآش را انجام دهند به نتایج مختلفی برای متغیرها خواهند رسید. روشی مورد نیاز است که نتیجه معقولی را نتیجه بدهد. این روش منطقی می‌تواند پیاده سازی همه برآش‌های ممکن و منطقی روی کاغذ تمام لگاریتمی و بحث و بررسی آماری آن‌ها باشد. تجزیه و تحلیل داده‌های آزمایشگاهی نشان داده‌اند که مقدار بعد فرکتالی همیشه همراه با مقداری مشخص از ضریب تنش موثر می‌باشد و نمی‌توان در بررسی‌های آماری این دو را به طور جداگانه مورد تجزیه و تحلیل قرار داد. مقادیر بعد فرکتالی توسط روش‌های برآش چندگانه

منابع

- 1- صمدی بروجنی، ح.، م. شفاعی بجستان و م. فتحی مقدم. ۱۳۸۶. بررسی فرآیند ته نشینی و تحکیم رسوبات چسبنده مخزن سد ذر. مجله علوم و فنون کشاورزی و منابع طبیعی، شماره چهلم (الف).
- 2- ZHU ongHui, Lu JinYou, LIAO HongZhi, Wang JiaSheng, FAN Beilin & YAO ShiMing. 2008. Research on cohesive sediment erosion by flow : An overview, Science in China Series E: Technological Sciences.
- 3-Kamphuis, J.W., K.R. Hall. 1983. Cohesive material erosion by unidirectional current. J Hydr Eng, ASCE, 109(1): 49—61.
- 4- Sandford, L.P. and J.P.Y. Maa. 2001. A unified erosion formulation for fine sediments. Mar Geol, 179: 9—23.
- 5- Merkelbach, L. 1996. Consolidation theory and rheology of mud. A literature survey. Techn. Report no. 9-96, Delft University of Technology.
- 6- Merkelbach, L. 2000. Consolidation and strength evolution of soft mud layers. Communications on Hydraulic and Geotechnical Engineering report 00-2, Delft University of Technology.
- 7- Merkelbach, L. 2001. Note on parametrisation of Gibson's consolidation equation. Internal memo WL/Delft Hydraulics.
- 8- Gibson, R.E., R.L. Schiffman and K.W. Cargill. 1981. The theory of one- dimensional saturated clays. 11. Finite nonlinear consolidation of thick homogeneous layers. Can. Geotech. J., 18, 280-293.

Experimental study and modeling of critical shear stress for cohesive sediment erosion

H. Fooladfar¹, M.Shafai Bajestan², M. Fathi Moghaddam³

Abstract

Yet, the estimation of critical shear stress for cohesive sediment erosion as a function of degree of consolidation and elevation of exposed layer of the bed sediment is under consideration around the world. Sediment shear strength in the vicinity of the interface can be a good delegate of critical shear stress. Because one can relate this parameter to some parameters such as volumetric concentration and effective stress which are function of time and space and can be modeled analytically. Moreover one can measure the coefficients such as fractal Dimension, effective stress coefficient, Creep coefficient, lateral stress coefficient, internal friction angle and cohesion coefficient, using experimental techniques. Some of these coefficients are used to be measured by soil mechanical laboratorial experiment. However for measuring of fractal dimension and effective stress coefficient, there is not any documented method. In this paper, an experimental method has been developed using a settling cylinder for bed sediments of Sefidrud Dam reservoir. Experimental results have shown that every fractal dimension has always been jointed with specific effective stress coefficient. Moreover the best value for fractal dimension is the mode of its frequency distribution. Therefore the best value for effective stress coefficient is its average between the pairs with the same selected fractal Dimension. In General, critical shear stress is very sensitive to fractal dimension and it has been shown that the less fractal dimension, the less rate of critical shear stress with respect to volumetric concentration.

Keywords : cohesive sediment bed, surface erosion, critical shear stress, bed shear strength, effective stress, fractal dimension, settling cylinder, sefidrud dam reservoir.

¹- PhD student of faculty of Water Science Engineering of Ahvaz Chamran University

² - Professor of faculty of Water Science Engineering of Ahvaz Chamran University

³- Professor of faculty of Water Science Engineering of Ahvaz Chamran University